

# یافته‌های جدید کانه‌نگاری و شیمی بلور مگنتیت و پیریت در کانسارهای آهن باباعلی و گلالی، باخته همدان، ایران

قدرت الله رستمی پایدار<sup>۱\*</sup>، محمد لطفی<sup>۲</sup>، مجید قادری<sup>۳</sup>، آزاده امیری<sup>۴</sup> و منصور ونوقی عابدینی<sup>۴</sup>

<sup>۱</sup> گروه جغرافیا، دانشگاه آزاد اسلامی اهواز، اهواز، ایران

<sup>۲</sup> گروه زمین‌شناسی، دانشگاه آزاد اسلامی، واحد تهران شمال، تهران، ایران

<sup>۳</sup> گروه زمین‌شناسی اقتصادی، دانشکده علوم پایه، دانشگاه تربیت مدرس، تهران، ایران

<sup>۴</sup> گروه زمین‌شناسی، دانشکده علوم زمین، دانشگاه شهید بهشتی، تهران، ایران

تاریخ دریافت: ۱۳۸۷/۶/۲۳  
تاریخ پذیرش: ۱۳۸۸/۰۲/۱۵

## چکیده

کانسارهای آهن باباعلی و گلالی در باخته همدان و در میان توالی آتشفشاری-رسوبی سری سنفر در زون زمین‌شناسی-ساختاری سنتدج-سیرجان قرار دارند. بررسی‌های کانه‌نگاری و تجزیه‌های SEM-EDAX بر روی کانسنسنگ آهن مگنتیتی این دو کانسار در راستای شناخت بهتر ترکیب کانی‌شناسی و شیمی بلور کانسنسنگ، نتایج جالب توجهی را نشان داده است. با بررسی میزان تمکر برخی از عناصر کمیاب مانند وانادیم، کبات، نیکل، مس، کروم، تیتان، طلا، عنصر گروه پلاتین و برخی ناخالصی‌های سولفور و فسفر در کانسنسنگ، مشخص شد تها بخشی از پیریت اولیه دارای تمکر برخی از عناصر پلاتین است. به نظر می‌رسد دیگر نسل‌های پیریت و مگنتیت از نظر عناصر کمیاب یادشده تهی شده‌اند. سیالات گرمابی تأخیری که باعث کانی‌سازی پیریت در باطله (گانگ) کلستیت-کوارتز شده‌اند، از نظر کانی‌سازی طلا نیز با اهمیت بوده و در واقع، کانی پیریت به عنوان حامل خوبی برای طلا عمل نموده است. شناسایی مقادیر قابل توجهی از فلوگویست و الگوی تمکر عناصر کمیاب در کانسنسنگ آهن گلالی، نظریه اسکارن نوع منیزیم آتشفشار زاد را قوت داده است.

**کلیدواژه‌ها:** کانه‌نگاری، شیمی بلور، میکروسکوپ الکترونی رویشی، کانسنسنگ آهن، باباعلی، گلالی

E-mail: rostamigs@gmail.com

\* نویسنده مسئول: قدرت الله رستمی پایدار

## ۱- مقدمه

شیمی بلور کانی‌های مگنتیت و پیریت دو کانسار مورد توجه قرار گرفته است.

### ۲- روش مطالعه

در این پژوهش، ابتدا ۵۶ مقطع صیقلی از کانسنسنگ آهن کانسارهای باباعلی و گلالی تهیه شد و با استفاده از میکروسکوپ کانه‌نگاری در نور انعکاسی، ویژگی‌های کانی‌شناسی و بافت ماده معدنی در ارتباط با گانگ، بدقت مورد مطالعه قرار گرفت. سپس بخش‌هایی از کانسنسنگ آهن، پس از آماده‌سازی با روش‌های SEM-EDAX و ICP-MS تجزیه شد. میکروسکوپ الکترونی رویشی مورد استفاده در این پژوهش، سیستم چندکاره‌ای است که قادر به کار در حالت‌های خلاء بالا و پایین، برای تصویربرداری و تجزیه کیفی و کمی X-ray برای آزمون‌های حساس است. دستگاه تصویربرداری و تجزیه کیفی و کمی SEM-EDAX مدل 1455 VP (Reed 1996، Goldstein & Newbury 2003، Passchier & Trouw 2005) بوده و مجهز به سیستم آماده‌سازی و پوشش نمونه (coating) است. بخش طیف پرتو ایکس دستگاه نامبرده دارای بزرگنمایی ۳۰۰۰۰ تا برابر است. این دستگاه یکی از کاربردی‌ترین ابزارهای پژوهشی در زمینه‌های علوم مواد، متالورژی، علوم زیستی، پزشکی، دندانپزشکی، علوم گیاهی و جانوری، فیزیک و فناوری نانو است (Hobart & Willard, 1998). مهم‌ترین اصول و کاربردهای روش SEM-EDAX در علوم مختلف توسعه پژوهشگرانی مانند Zheng (2006) و (2006) در این پژوهش، با توجه به توان مناسب این دستگاه، افزون بر تهیه تصاویر الکترون‌های بازیافنی Back-Scattered Electron Image (map image analysis) از فازهای کائیایی انجام شده است. در این نوع تجزیه، فازهای مجهول، تحت تجزیه عنصری خاص قرار گرفته و در مواردی، تجزیه نقشه‌ای شیمی بلور انجام شده است. در این مقاله، بازترین ویژگی‌های کانی‌شناسی و

کانسارهای آهن باباعلی و گلالی در بخش شمال باخته همدان و در زون زمین‌شناسی-ساختاری سنتدج-سیرجان واقع شده‌اند (شکل ۱). کانی‌سازی آهن در این دو کانسار در میان یک توالی آتشفشاری-رسوبی به سن پرموترياس بهنام سری سنفر (نامگذاری غیر رسمی، Barud, 1975) انجام شده است. این توالی سنگ چینه‌ای خود تحت تأثیر فعالیت‌های زمین‌ساختی و نفوذ توده‌های آذرین، دچار دگرگونی و دگرگشکلی شده است (محجل، ۱۳۸۶ و رستمی پایدار، ۱۳۸۸). ویژگی‌های زمین‌شناسی محدوده کانی‌سازی، ارتباط بین سنگ درونگیر و کانسنسنگ آهن و نیز چگونگی کانی‌سازی آهن در این دو محدوده، در پژوهش رستمی پایدار (۱۳۸۸) و گزارش شرکت مهندسین مشاور زریابان اکتشاف (۱۳۷۹) به طور مفصل مورد بحث قرار گرفته است. برخی از ویژگی‌های کانی‌شناسی و ژئوشیمیابی زون اسکارن بابابعلی نیز بررسی شده است (Zamanian, 2007). با توجه به این که شناخت هرچه بیشتر کانسنسنگ در امر فرآوری مواد معدنی و نیز در مشخص شدن روند ژنتیک و الگوی اکتشافی آن نقش بسزایی دارد، در این پژوهش، کانسنسنگ آهن مگنتیتی دو کانسار بابابعلی و گلالی از نگاه کانه‌نگاری و شیمی بلور مورد توجه خاص قرار گرفته و سعی شده است افزون بر بررسی دقیق کانی‌شناسی فازهای اصلی کانسنسنگ آهن، به الگوی تمکر عناصر کمیاب در شبکه کانی‌های کانسنسنگ آهن در این دو کانسار پرداخته شود. در این راستا، بر روی ۵۶ مقطع صیقلی تهیه شده از کانسنسنگ دو کانسار آهن، مطالعه کانه‌نگاری انجام گرفته است. ۱۰ نمونه نیز به روش XRD کانی‌شناسی شده است. بر روی ۱۷ نمونه کانسنسنگ آهن، ۵۷ نقطه با روش SEM-EDAX (Scanning Electron Microscope-Electron Dispersive X-ray Analysis) تجزیه شیمی بلور انجام شده و بر روی ۴ نمونه نیز در آزمایشگاه ALS-Chemex (Canada) به روش ICP-MS تجزیه شده است. در این مقاله، بازترین ویژگی‌های کانی‌شناسی و

به ترتیب شامل فیلیت‌های همدان (لیاس)، توالی کربناتی – آواری پرسیل الیکومیوسن و نهشته‌های کواترنر است (اشراقی، ۱۳۸۰). مشاهدات صحرایی، بررسی‌های ژئومتری، ساخت و بافت انجام شده در مقیاس نمونه دستی و میکروسکوپی بر روی کانسنگ آهن باباعلی و گلالی همگی یانگر این مطلب است که توالی همبودی (باراژنزی) و کانی زایی در هر دو کانسار، شامل کانی سازی مگنتیت و نسل اولیه پیروتیت و پیریت همزمان با سنگ درونگیر است. پس از آن در فازهای ثانوی، مگنتیت همراه با کانی‌های سولفیدی چون پیریت و کالکوپیریت و کانی‌های اکسیدی و کربناتی ناشی از هوازدگی آنها در فضاهای خالی سنگ میزان و در بین باطله و مگنتیت، کانی‌های سولفوری مانند پیریت و پیروتیت نسبت به مگنتیت، تأخیری هستند. بافت‌های دانه‌پراکنده (disseminated tex.) لایه‌ای، لامینه‌ای، شکاف‌پرکن (massive tex.) و توده‌ای (open space filling) در ماده‌معدنی قابل مشاهده است (شکل ۲). توسعه برگ‌وارگی و بافت نواری شکل مگنتیت و پیریت و دیگر کانی‌های کانسنگ آهن باباعلی حکایت از عملکرد دست کم یک فاز دگرگونی ناحیه‌ای بر روی کانسنگ آهن دارد. در شکل ۲، بخش‌هایی از کانسنگ آهن باباعلی و گلالی نشان داده شده است.

### ۵- بررسی کانه مگنتیت در کانسنگ آهن باباعلی و گلالی

در کانسنگ آهن باباعلی، کانه مگنتیت به صورت بلورهای نیمه شکل‌دار، شکل‌دار و بی‌شکل و نیز به صورت پیوسته و موزاییکی دیده می‌شود. گاه بلورهای مگنتیت با پیریت و کالکوپیریت همراهی نشان می‌دهند. ابعاد بلورهای مگنتیت، بیشتر بین ۳۰-۳۰۰ میکرون است، اما بلورهای ریزتر و درشت‌تر از آن نیز دیده می‌شود. بلورهای مگنتیت در بخش‌هایی تحت فرایند دگرسانی سوپرین فرار گرفته و در جهات سطوح بلورشناسی در حال دگرسانی و تبدیل به کانی هماتیت هستند (پدیده مارتیتی شدن، شکل ۴). بافت کانی سازی فلزی به صورت رگچه‌ای، دانه‌پراکنده، توده‌ای و پرکنده فضاهای خالی است. میان‌بار (انکلوژیون) دانه‌ریزی از پیریت در متن بلورهای مگنتیت وجود دارد.

از جمله بافت‌های جالب توجه، بافت‌های اولیه دانه‌پراکنده و لامینه‌ای مگنتیت و هماتیت در تناوب بالامینه‌های کربناتی است (شکل ۳). همچنین نوعی بافت نواری شکل (banded tex.) بویژه در بخش‌های پر عیار کانسار باباعلی دیده می‌شود. مشاهدات در مقیاس‌های رختخون، نمونه دستی و میکروسکوپی نشان می‌دهد این نوع بافت افزون بر دگرگونی ناحیه‌ای کانسنگ، همراه با سنگ درونگیر، تشکیل و توسعه پیدا کرده است، بدین ترتیب که دگرشکلی‌های ایجاد شده در سنگ درونگیر و کانسنگ آهن، بویژه در پهنه‌های برشی شکل پذیر، شبات و انطباق خوبی نشان می‌دهند (رسنی پایدار، ۱۳۸۸).

در کانسار آهن گلالی نیز کانه مگنتیت به عنوان کانی فلزی چیره به صورت بلورهای با اشکال نیمه شکل‌دار، شکل‌دار و گاهی بی‌شکل دیده می‌شود. ابعاد بلورهای مگنتیت از ۲۰ تا ۸۰۰ میکرون متغیر است، ولی بلورهای بین ۲۰۰-۳۰۰ میکرون، فراوانی بیشتری نشان می‌دهند. اجتماع این بلورها، گاه تجمعات درشت با ابعاد میلی متر تا سانتی متر را ایجاد می‌نماید که با چشم غیر مسلح براحتی قابل جدایش است. بافت کانی سازی فلزی مگنتیت بیشتر به صورت توده‌ای است، ولی بافت‌های لکمای، افشاران و شکاف‌پرکن نیز دیده می‌شوند. این کانی از حواشی و اطراف و نقاط ضعف در شبکه بلورین، به هماتیت (مارتیت) دگرسان شده است، به طوری که خطوط مارتیتی شدن در آن آشکار است (شکل ۴). هماتیت به صورت شبکه‌ای با الگوهای خاص در سطوح رخ (کلیوژ) هشت وجهی (اکتاوردی) مگنتیت تشکیل شده و بی‌نظمی آن نشانه فرایند مارتیتی شدن است. کانه مگنتیت در برخی از مقاطع مطالعه شده، دچار شکستگی‌های ظریفی شده است که به نظر می‌رسد حاصل عملکرد

پراکندگی و میزان عناصر مورد نظر، هم به صورت مجزا و تفکیک شده و هم بر روی تصویر محدوده مورد تجزیه با رنگ‌های مشخصی پیاده شده است. برخی از کاربردهای این میکروسکوپ در مطالعه نمونه‌های زمین‌شناسی و سنگ‌های دگرشکل شده در (1981) Lloyd & Hall و (2005) Passchier & Trouw (2005) نشان داده شده است. تجزیه‌های کمی این دستگاه در مورد برخی از کانی‌های غیرفلزی و فلزی نیز در Champness et al. (1982) مذکور شده است. میکروسکوپ الکترونی روشنی (SEM) به لحاظ کاربردی قادر است اطلاعات ریخت‌شناختی، توبوگرافی، بلورشناسی و شیمی‌بلور را در مورد نمونه‌های مورد بررسی در اختیار بگذارد. تعیین عناصر و ترکیبات موجود در نمونه و مقادیر نسبی آنها توسط این دستگاه امکان‌پذیر است که به صورت‌های مختلف چون نقشه تجزیه عنصری، نمودارهای فراوانی عناصر و مقادیر عددی یا کمی عناصر تشکیل دهنده نمونه مورد نظر گزارش می‌شود. لازم به یادآوری است که این تنوع در روش‌های تجزیه و نمایش نتایج آن با دستگاه SEM-EDAX می‌تواند در امر شناخت کانسنگ و پیزگی‌های مختلف شیمی‌بلور آن بسیار ارزشمند باشد و در مواردی با بررسی دقیق ارتباط بین فازهای کانی‌ای در گیر در کانسنگ و نیز گانگ، به بهینه‌سازی روش‌های کانه‌آرایی منجر می‌شود.

### ۳- آماده‌سازی نمونه‌ها

نمونه‌های مورد مطالعه در این پژوهش به دو صورت از کانسنگ آهن آماده‌سازی شد. از تعدادی از نمونه‌ها، مقاطع صیقلی تهیه شد و ویژگی‌های کاننگاری آنها به دقت مورد مطالعه قرار گرفت. در بخش‌هایی از این نمونه‌ها، کانی‌های پیریت و مگنتیت و نیز یک سری فازهای فلزی مجھول، مشخص و علامت‌گذاری شده بود تا بر روی آنها بررسی‌های دقیق‌تری انجام گیرد. بخش دوم نمونه‌های مورد مطالعه، شامل بلورهای جداسازی شده پیریت و مگنتیت از کانسنگ آهن باباعلی و گلالی است. با توجه به این که درجه خلوص فاز سولفیدی و سیلیکاتی جداسازی شده برای بررسی‌های ایزوتوپی، از اهمیت خاصی برخوردار است و نتایج تجزیه‌های ایزوتوپی به میزان دقت در آماده‌سازی نمونه‌ها وابستگی زیادی نشان می‌دهد، بنابراین در آزمایشگاه کانه‌آرایی سازمان زمین‌شناسی کشور، بر روی نمونه‌های کانسنگ انتخابی، ابتدا عملیات خردایش انجام شد و این کار تا رسیدن به درجه آزادی فاز سولفیدی ادامه پیدا کرد. سپس با استفاده از مایعات سنگین و جداکننده مغناطیسی (magnetic separator)، هر نمونه در چندین مرحله پر عیار شد. در نهایت نمونه‌های آماده‌سازی شده به منظور حصول اطمینان از میزان خلوص (purity)، با دستگاه SEM مورد کنترل و بررسی قرار گرفت و بخش‌هایی از هر نمونه تجزیه شد. لازم به یادآوری است که در مرحله آماده‌سازی، به منظور هادی کردن، نمونه‌ها ابتدا با یک لایه نازک نقره پوشش داده شد، بنابراین مقادیر نقره در نتایج تجزیه حذف شده است.

### ۴- کانی سازی آهن در کانسارهای باباعلی و گلالی

کانی سازی آهن در دو کانسار باباعلی و گلالی در میان سنگ‌های آتش‌شانی- رسوبی سری سنتروپیاس رخ داده است. ترکیب سنگ‌شناختی این سری شامل سنگ‌های آتش‌شانی اسیدی تا حدوداً دگرگون شده، بیشتر به صورت گذازه و توف ریولیتی، همراه با میان‌لایه‌های کربناتی و گاه رسوبات ماسه‌سنگ توپی دگرگون شده است. بر اساس مشاهدات صحرایی و بررسی‌های سنگ‌نگاری انجام شده، جایگیری توده‌های نفوذی و نیمه آتش‌شانی با ترکیب گابرو‌دیوریت، کوارتز مونزودیوریت، گرانو‌دیوریت، سینیت، سینوگرانیت و گرانیت در این توالی سنگی در حین فعالیت‌های زمین‌ساختی، باعث دگرشکلی و گاه دگرگونی منطقه و کانسنگ آهن شده است. دیگر واحدهای سنگ چینه‌ای رخمنوندار در منطقه

## ۷- بروزی کانه پیریت در کانسنگ آهن باباعلی و گلالی

بر مبنای مطالعه بافتی در مقیاس نمونه دستی و کانه‌نگاری در کانسنسنگ آهن باباعلی، ۳ نسل پیریت از نظر دانه‌بندی و بافت تفکیک شد:

نسل اول پیریت به صورت دانه‌ریز و فاقد شکل هندسی مشخص در بسیاری از مقاطع صیقلی مطالعه شده دیده می‌شود و گاهی به تنها، در صد قابل توجهی از سطح مقاطع را به خود اختصاص می‌دهد. ابعاد بلورها بین ۵-۲۰ میکرون است. بیشتر این بلورها از حاشیه و اطراف دگرسان شده و به اکسید و هیدروکسیدهای ثانویه قرار گرفته است.

نسل دوم پیریت به صورت بلورهای شکل‌دار و نیمه شکل‌دار با ابعاد ۳۰-۳۰۰ میکرون دیده می‌شود. گاه اجتماع بلورهای پیریت، لکه‌های درشتی با ابعاد میلی‌متر تا سانتی‌متر را ایجاد نموده است (شکل ۹).

نسل سوم پیریت به صورت بلورهای درشت و با شکل هندسی نامشخص در فضاهای خالی میزان میزان جای گرفته است. اندازه بلورها بین ۱۰-۵۰۰ میکرون متغیر بوده و سطح آنها حفره‌دار و توخالی (مجوف) است (شکل ۹). در برخی حفرات، میانبارهای کوچکی از کانه‌های پیریت و کالکوپیریت حضور دارند. گاهی بلورهای کوچک پیریت تا حدود ۲۰ میکرون به صورت شکل‌دار ظاهر شده و به احتمال از نوع پیریت نوریخت (Neoformed pyrite) هستند. از جمله بافت‌های جالب توجه پیریت در کانسنسنگ آهن باباعلی، بافت لامینه‌ای یا نواری شکل آن در تناوب با لامینه‌های مگنتیت است. بررسی ارتباط بین کانسنسنگ و سنگ دربرگیرنده در مقیاس‌های مختلف رخنمون، نمونه دستی و میکروسکوپی نشان می‌دهد این نوع بافت همراه با دگرگونی ناسیه‌ای، تشکیل و گسترش پیدا کرده است.

پیریت در کانسنسنگ گلالی نیز به صورت بلورهای به طور کامل شکل‌دار تا نیمه‌شکل‌دار و با ابعاد ۳۰-۱۰۰ میکرون است که گاه اندازه درشت‌بلور آنها به ابعاد حدود ۶۰۰ میکرون نیز می‌رسد و گاهی نیز اجتماع بلورهای پیریت به صورت تجمعات با ابعاد میلی‌متر تا سانتی‌متر ایجاد کرده است. این کانه در بیشتر موارد به شکل رگچه‌ای و درگیر با مگنتیت است (شکل ۹). پیریت بیشتر همراه با پیریت بوده و در حفرات و فضاهای مناسب، مگنتیت را پر کرده است. بافت‌های دانه‌پراکنده، لامینه‌ای، لایه‌ای و شکافه‌پرکن از پیریت در سنگ درونگیر و کانسنسنگ آهن دیده می‌شود. بافت‌های شکافه‌پرکن در بخش‌های مختلف این کانسنسنگ چیره است و با چشم غیرمسلح نیز قابل مشاهده است (شکل ۹). در شکل ۹، نوعی بافت زونه در پیریت دیده می‌شود که در آن، دست کم سه فاز کانی‌سازی را می‌توان تفکیک نمود. درین این مراحل نیز یک زمان آرامش نسبی بدون کانی‌سازی (وقفه در کانی‌سازی) قابل دیدن است. این نوع پیریت برای بررسی‌های بعدی، در صورت امکان با SEM و میکروپریوب انتخاب شده است تا تغییرات و روند این فازهای کانی‌سازی با دقت بیشتری مورد بررسی قرار گیرد. بر مبنای مشاهدات بافتی، کانی‌سازی پیریت تابع فضاهای خالی سنگ میزان بوده و اغلب پس از کانی پیریت رخ داده است.

## ۸- شیمی بلور پیریت در کانسنسنگ آهن باباعلی و گلالی

کانه پیریت در نمونه‌های جداسازی شده از دو کانسنسنگ آهن باباعلی و گلالی در تجزیه‌های انجام شده با روش SEM-EDAX از نظر عناصر کمیاب مانند Ni, Cu, Co, V, Ti, Cr, PGE, Au موردن بررسی قرار گرفت. نکته جالب توجه در تعدادی از این نمونه‌ها، حضور عنصر پلاتین (Pt) در شبکه پیریت است. تجزیه دقیق تر پیریت حاکی از تمرکز عنصر پلاتین از ۱۰/۴۲ تا ۵/۴۵ درصد وزنی به صورت پراکنده در شبکه این کانه است (شکل‌های ۱۱ و ۱۲). شواهد نشان می‌دهد که فاز سولفیدی پیریت اولیه، در حمل و تمرکز عنصر پلاتین نقش مهمی داشته است. این موضوع

فرایندهای زمین‌ساختی است و در برخی بخش‌ها، جابه‌جایی قطعات بلور مگنتیت نیز صورت گرفته است. در داخل حفرات ایجاد شده، دگرسانی بسیار ضعیفی روی این کانه صورت گرفته و به اکسیدهای آبدار ثانویه تبدیل شده است. فراوانی این کانه در مقاطع مطالعه شده مربوط به کانسنسنگ گلالی به ۸۰-۵۰ درصد نیز می‌رسد. کانه مگنتیت اولیه بوده و کانه‌های هماتیت، لیمونیت و گوتیت، سوپرژن و ناشی از دگرسانی است.

## ۶- شیمی بلور مگنتیت در کانسنسنگ آهن باباعلی و گلالی

به مظور بررسی شیمی بلور به روش SEM-EDAX، کانه مگنتیت در نمونه‌های جداسازی شده از دو کانسنسنگ آهن باباعلی و گلالی از نظر عناصر کمیاب مانند Ni, Cu, Co, V, Ti, Cr, PGE, Au و ناخالصی‌های مزاحم P و S موردن بررسی قرار گرفت (شکل‌های ۷ و ۸). برای مطالعه دقیق تر شیمی بلور کانسنسنگ مگنتیت باباعلی و گلالی، ۴ نمونه پر عیار شده از کانه مگنتیت با روش ICP-MS نیز تجزیه شده که نتایج آن در جدول ۱ آمده است (شکل‌های ۵ و ۶). در مورد چگونگی و توزیع عناصر کمیاب و حاکی کمیاب در کانسنسنگ آهن، پژوهش‌های قابل توجهی در ایران و جهان انجام شده است، ولی بررسی‌ها در مورد توزیع این عناصر در فاز مگنتیت کانسنسنگ آهن، انگشت‌شمار بوده و بیشتر آنها نیز بر روی انواع کانی‌سازی مگماهی مگنتیت-آپاتیت انجام شده است. نتایج این بررسی‌ها، الگوهای مشخصی را در ارتباط با انواع مدل‌های ژنز و شکل‌گیری مواد معدنی ارائه داده است. بر این اساس، دو دسته کانسنسنگ آهن نوع کاپرونا (با وابستگی به آتشفسانی‌ها) و کانسنسنگ آهن در ارتباط با فرایندهای دوتیریک و توده‌های نفوذی رده‌بندی شده است (Frietsch & Perdahl, 1995). به طور کلی، الگوی خاک‌های کمیاب (REE) آپاتیت در این کانسنسنگ آهن، نشان از تمایل آنها به مگماهی‌های قلایی و نیمه قلایی و محیط‌های کافتی دارد. ذوب بخشی سنگ‌های ژرف پوسته‌ای به عنوان منشاء احتمالی این کانی‌سازی آهن در مقیاس بزرگ تلقی شده و مگمازایی در کافت‌های درون‌قاره‌ای همراه با زیرراندگی پوسته‌های قدیمی، باعث توسعه کانی‌سازی آهن شده است. در کانسنسنگ آپاتیتی کاپرونا، مقدار  $\Sigma$ REE بین ۲۰۰۰ ppm تا ۷۰۰۰ ppm، نسبت تفیریک LREE/HREE ضعیف تا متوسط و بی‌هنجری منفی Eu گزارش شده است. نکته دیگر این که در هر دو نوع کانسنسنگ غنی و فقیر از فسفر کاپرونا، الگوی REE مشابه است که این نشان از همنشأ بودن آنها دارد (& Frietsch, 1995). کانی‌سازی آهن حوضه بافق در ایران مرکزی نیز به عنوان نوع کاپرونا رده‌بندی شده است (Torab & Lehmann, 2007). در مورد مگنتیت‌های کانسنسنگ آهن باباعلی و گلالی، همان‌گونه که در شکل ۵ مشخص شده است، الگوی خاک‌های کمیاب سبک (LREE) نسبت به خاک‌های کمیاب سنگین (HREE) در کانسنسنگ آهن مگنتیتی غنی‌شدگی نشان می‌دهند. این ویژگی در سنگ‌های در برگیرنده ماده معدنی نیز صادق است و به احتمال، می‌تواند ناشی از ذوب بخشی کم مواد گوشه‌ای، ذوب محدود گوشه‌غذی شده و یا محصول فرایند نهایی تبلور بخشی در مگماتیسم منطقه باشد.

بررسی ترکیب کانی‌شناختی و شیمی بلور کانسنسنگ آهن مگنتیت گلالی توسط روش SEM-EDAX منجر به شناسایی کانی فلوگوپیت در زون اسکارن گلالی شده است. با توجه به ویژگی‌های زمین‌ساختی، جایگاه زمین‌شناختی، کانی‌شناختی و نوع ماده معدنی، پارازنتر اسکارن و سنگ درونگیر ماده معدنی، رده‌بندی جامعی از انواع کانسنسنگ اسکارن ارائه شده است (Meinert, 1993). شواهد کانی‌شناختی و حضور فراوان کانی فلوگوپیت، همراه با مگنتیت گلالی باعث تقویت نظریه اسکارن منیزیمی با منشا اولیه آتشفسانی-رسوبی در مورد این کانسنسنگ شده است.

این نمونه‌ها اتخاذ شد.

- بررسی ترکیب کانسنسنگاری و شیمی‌بلور تعدادی از فازهای مجھول در کانسنسنگ آهن گلالی نیز به شناسایی کانسنسنگ آهن فلوگوپیت در زون اسکارن منجر شده است که باعث تقویت نظریه اسکارن مگنتیت با مشاً اولیه آتشفسانی-رسوبی در مورد این کانسرا شده است.

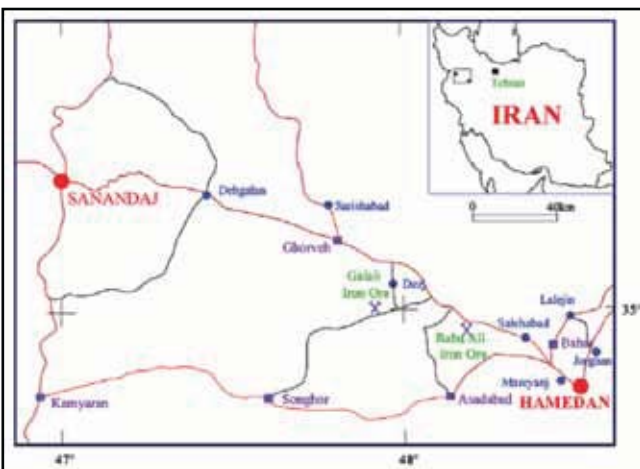
- بطور کلی الکتروکلریت‌های کمیاب سبک (LREE) نسبت به خاک‌های کمیاب سنگین (HREE)، هم در کانسنسنگ آهن مگنتیت و هم در سنگ‌های دربرگیرنده ماده معدنی، غنی‌شدگی نشان می‌دهند که می‌تواند محصول ذوب بخشی کم مواد گوشه‌ای، ذوب محدود گوشه‌غذی شده و یا محصول فرایند نهایی تبلور بخشی در ماگماتیسم منطقه باشد.

- بررسی‌های ژئومتری و ساخت و بافت انجام شده در مقیاس نمونه دستی و میکروسکوپی بر روی کانسنسنگ آهن باپالی و گلالی، بیانگر این مطلب است که توالي پارازنزی و کانسنسنگ آی در کانسرا، شامل کانسنسنگ اسکارن مگنتیت و نسل اولیه پیریت و پیریت، به صورت همزمان با سنگ درونگیر و با رسوبی آتشفسانی-رسوبی است. پس از آن در فازهای ثانوی، کانسنسنگ آی سولفیدی چون پیریت و کالکوپیریت و کانسنسنگ اکسیدی و کربناتی ناشی از هوای دسته است. کانسنسنگ میزبان باطله و مگنتیت کانسنسنگ اسازی داشته است. کانسنسنگ سولفیدی مانند پیریت و پیریت نسبت به مگنتیت، تأخیری هستند.

بررسی و ارزیابی احتمال کانسنسنگ اسازی با ارزش اقتصادی پلاتین در فازهای مگنتیت و پیریت هر دو کانسرا بويژه در نسل‌های اولیه پیشنهاد می‌شود. محدوده کانسرا آهن گلالی و بويژه فازهای باطله کوارتز و کلسیت همراه با کانسنسنگ آهن که دارای کانسنسنگ اسازی پیریت است، از نظر احتمال کانسنسنگ اسازی با ارزش اقتصادی طلا به طور جامع تر مطالعه شود. همچنین ویژگی ایزوتوپی این نسل از پیریت و تفاوت آن با دیگر نسل‌ها مورد پژوهش و مقایسه قرار گیرد.

### سپاسگزاری

در این پژوهش همکاری صمیمانه خانم‌ها صحت و زنوزی از سازمان زمین‌شناسی و اکتشافات معدنی کشور شایسته تقدیر است. همچنین از مستولان محترم سازمان زمین‌شناسی و اکتشافات معدنی کشور که تسهیلات لازم برای این پژوهش را مهیا نموده‌اند، تشکر و قدردانی می‌شود.



شکل ۱- موقعیت جغرافیایی و راه‌های دسترسی به منطقه و کانسراهای آهن باپالی و گلالی

در نمونه‌های متعددی مورد بررسی قرار گرفته و مشخص شده است، لذا به جرأت می‌توان بیان داشت که نسل اولیه پیریت در کانسراهای آهن باپالی و گلالی، دارای عنصر پلاتین است، لذا این موضوع می‌تواند شاهدی بر منشأ احتمالی ماگماتی و نسل اولیه این نوع پیریت باشد. دیگر نسل‌های پیریت ناشی از دگرگونی، دگرسانی و فعالیت‌های گرمابی تأخیری در این کانسراها به شمار می‌رود که از نظر عناصر کمیاب مورد نظر تهی شده است. نکته دیگر این که پیریت گرمابی تأخیری، حامل عنصر طلا (Au) است که در ادامه مورد بررسی قرار گرفته است.

بخشی از باطله (گانگ) کانسرا آهن گلالی به صورت رگه و رگچه‌های کلسیت-کوارتز-پیریت است که با سترهای مختلف در مغزهای حفاری شده دیده می‌شود. به منظور بررسی دقیق تر فازهای کانسنسنگ، این نوع رگه‌ها و بويژه نسل‌های مختلف پیریت در کانسرا، مطالعه شیمی‌بلور پیریت و تجزیه عصری این کانسنسنگ با دستگاه SEM بر روی یک نمونه از این نوع رگه‌ها اختبار شد. کانسنسنگ این نمونه به صورت بلورهای درشت و خودشکل در باطله کربنات-کوارتز با فروانی پیش‌فرز کربناتی است که پیش‌تر مقاطع صیقلی آن تهیه و مورد مطالعه قرار گرفته است و نتایج بسیار جالبی را نیز در برداشت از این نوع رگه‌ها داشته است. ۶ بار تجزیه بر روی بخش‌های مختلف این نمونه انجام شد. در شکل ۱۳ تجزیه نقشه‌ای (Map analysis) انجام شده، به تفکیک، فروانی عناصر موجود در کانسنسنگ ایزوتوپی و باطله کربناتی-سیلیسی را نشان داده است. همان‌طوری که دیده می‌شود عنصر طلا با فروانی متوسط ۲/۰۸ درصد وزنی در فاز سولفیدی پیریت تمرکز یافته است. این یافته در تجزیه کامل انجام شده بر روی این نمونه در شکل ۱۴ نیز به خوبی مشخص و تأیید شده است. بنابراین می‌توان نتیجه گرفت که کانسنسنگ ایزوتوپی پیریت، به عنوان حامل خوبی برای عنصر طلا در سیال‌های گرمابی تأخیری کانسنسنگ آهن گلالی عملکرد داشته است. بنابراین بررسی‌های بیشتر این نوع رگه‌های کوارتز-کربناتی در کانسرا آهن گلالی پیشنهاد می‌شود. مشابه این نوع از کانسنسنگ طلا همراه با پیریت در دنیا به طور کامل شناخته شده است (Pirajno, 1992). در این مطالعه، افزون بر طلا همراهی عنصر آنتیموان (Sb) نیز در تعدادی از تجزیه‌ها دیده شد.

### ۹- نتیجه‌گیری

بر اساس مشاهدات صحرایی، بررسی‌های کانسنسنگاری و تجزیه‌های انجام شده در این پژوهش که برای نخستین بار با روش SEM-EDAX بر روی کانسنسنگ آهن کانسراهای باپالی و گلالی انجام شده است، می‌توان نتایج زیر را به اختصار مطرح نمود:

- بررسی حضور برخی از عناصر کمیاب مانند Au, Ni, Cu, Co, V, Ti, Cr, PGE، و NaXالصی‌های P و S در ترکیب کانسنسنگ آهن مگنتیت و پیریت در کانسنسنگ آهن باپالی و گلالی نشان می‌دهد تنها پیریت هیوژن و نسل اولیه، دارای تمرکز جالب توجهی از عنصر پلاتین (Pt) است. دیگر نسل‌های پیریت و مگنتیت از نظر این عناصر، تهی شده‌اند.

- شناسایی طلا (Au) در ترکیب و شبکه کانسنسنگ آهن پیریت از جمله نتایج جالب توجه دیگر در این مطالعه است. شواهد بدست آمده از این مطالعه، نشان‌دهنده این مطلب است که سیالات گرمابی تأخیری که دارای کانسنسنگ اسازی پیریت است، از نظر طلا نیز قابل توجه بوده و کانسنسنگ آهن پیریت، به عنوان حامل خوبی برای عنصر طلا عمل کرده و حضور طلا به صورت آزاد در باطله کوارتز-کربناتی را امکان‌پذیر نموده است.

- نتایج این مطالعه، نشان از درجه خلوص بالای بیشتر نمونه‌های آماده‌سازی شده به منظور بررسی‌های ایزوتوپی دارد. تعداد محدودی از نمونه‌ها نیز دارای ناخالصی‌های کوارتز و کلسیت هستند که تمیهای لازم در مورد بالا بردن عیار

جدول ۱- نتایج تجزیه شیمی عناصر اصلی، کمیاب و خاکی کمیاب در مگنتیت پر عیار شده با باعیلی (Ha) و گلالی (Ga)

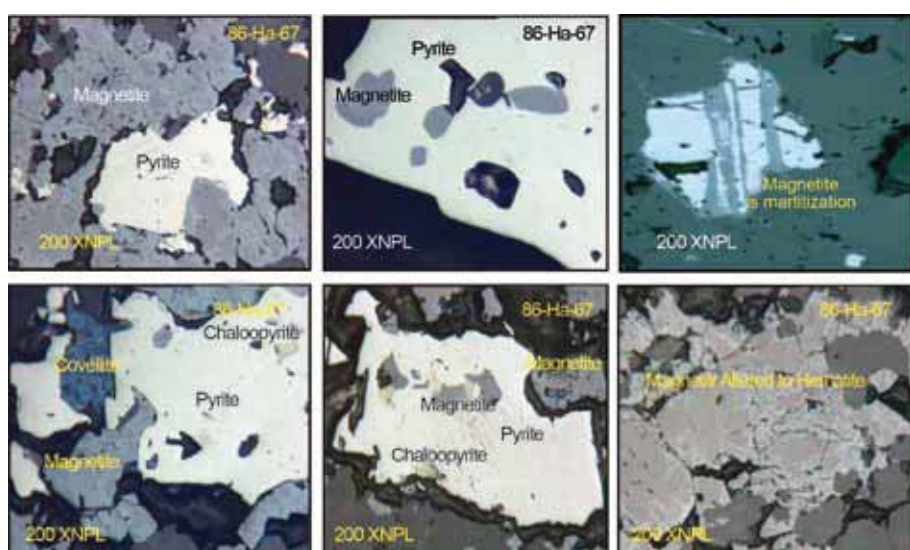
Sample.No	Location	SiO <sub>2</sub> %	Al <sub>2</sub> O <sub>3</sub> %	Fe <sub>2</sub> O <sub>3</sub> %	CaO%	MgO%	Na <sub>2</sub> O%	K <sub>2</sub> O%	TiO <sub>2</sub> %	MnO%	P <sub>2</sub> O <sub>5</sub> %	BaO%	L.O.I	total
LOR		0.01	0.01	0.01	0.01	0.01	0.01	0.01	0.01	0.01	0.01	0.01	0.01	0.01
86-Ha-P1	Baba-Ali	7.66	0.95	85.1	4.28	0.93	0.08	0.05	0.08	0.04	0.1	0.07	0.3	99.6
86-Ha-P3	Baba-Ali	4.06	0.93	89.3	4.63	0.99	0.08	0.06	0.06	0.04	0.13	0.01	-0.89	99.4
86-Ga-P8	Galali	2.8	1.7	92.4	0.52	2.11	0.02	0.29	0.08	0.06	0.06	0.01	-0.47	99.6
86-Ga-P9	Galali	11.8	2.37	77.9	4.42	3.87	0.03	0.43	0.19	0.11	0.04	0.01	-1.67	99.5
ppm														
LOR		Ag	Ba	Ce	Co	Cr	Cs	Cu	Dy	Er	Eu	Ga	Gd	Hf
86-Ha-P1	Baba-Ali	1	0.5	0.5	0.5	10	0.01	5	0.05	0.03	0.03	0.1	0.05	0.2
86-Ha-P3	Baba-Ali	1	324	9.7	26.3	10	0.22	288	0.4	0.28	0.19	3.3	0.53	0.6
86-Ga-P8	Galali	1	8	12	1.5	10	0.18	258	0.28	0.19	0.11	3.3	0.45	0.2
86-Ga-P9	Galali	1	34.6	0.8	13.6	10	0.83	106	0.09	0.07	0.03	4.2	0.12	0.2
ppm														
LOR		Ho	La	Lu	Mo	Nb	Nd	Ni	Pb	Pr	Rb	Sm	Sn	Sr
86-Ha-P1	Baba-Ali	0.01	0.5	0.01	2	0.2	0.1	5	5	0.03	0.2	0.03	1	0.1
86-Ha-P3	Baba-Ali	0.07	7.6	0.05	2	0.2	2.8	5	27	0.88	0.9	0.53	2	40.1
86-Ga-P8	Galali	0.05	7.7	0.03	2	0.2	3.3	5	5	1.1	0.9	0.42	1	15.4
86-Ga-P9	Galali	0.02	2.4	0.01	2	0.2	0.3	5	5	0.08	33	0.03	1	4.7
ppm														
LOR		Ta	Tb	Tl	Tm	U	V	W	Y	Yb	Zn	Zr		
86-Ha-P1	Baba-Ali	0.1	0.01	0.05	0.5	0.01	0.05	5	1	0.5	0.03	5	2	
86-Ha-P3	Baba-Ali	0.1	0.07	1.45	0.5	0.04	0.47	8	1	2	0.21	48	27	
86-Ga-P8	Galali	0.1	0.02	0.55	0.5	0.01	0.35	8	3	0.5	0.07	110	12	
86-Ga-P9	Galali	0.1	0.12	1.15	0.5	0.05	0.59	16	3	3	0.29	85	38	



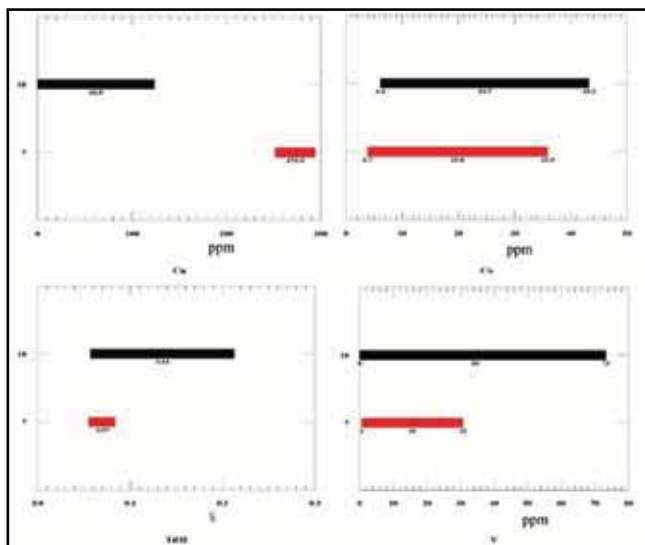
شکل ۲- اشکال مختلف کانی سازی آهن در کانسارهای با باعیلی و گلالی: کانه چیره در این دو کانسار، مگنتیت است، ولی کانه‌های پیریت، پیروتیت، هماتیت، و کانه‌های مس از قبیل کالکوپیریت، مالاکیت و آزوریت نیز به همراه آن حضور دارند. بافت نواری پیریت و مگنتیت در راستای برگوارگی (فولیاسیون) ترجیحی کانسنگ (خط چین) دیده می‌شود.



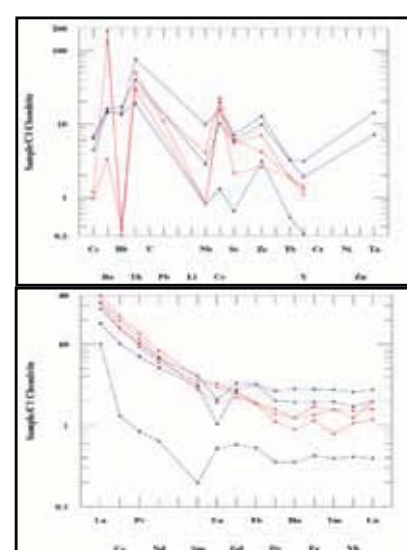
شکل ۳- نمونه دستی و نمای میکروسکوپی از تراوب لامینه‌های کربناتی دگرگون شده و کانی‌سازی مگنتیت و هماتیت



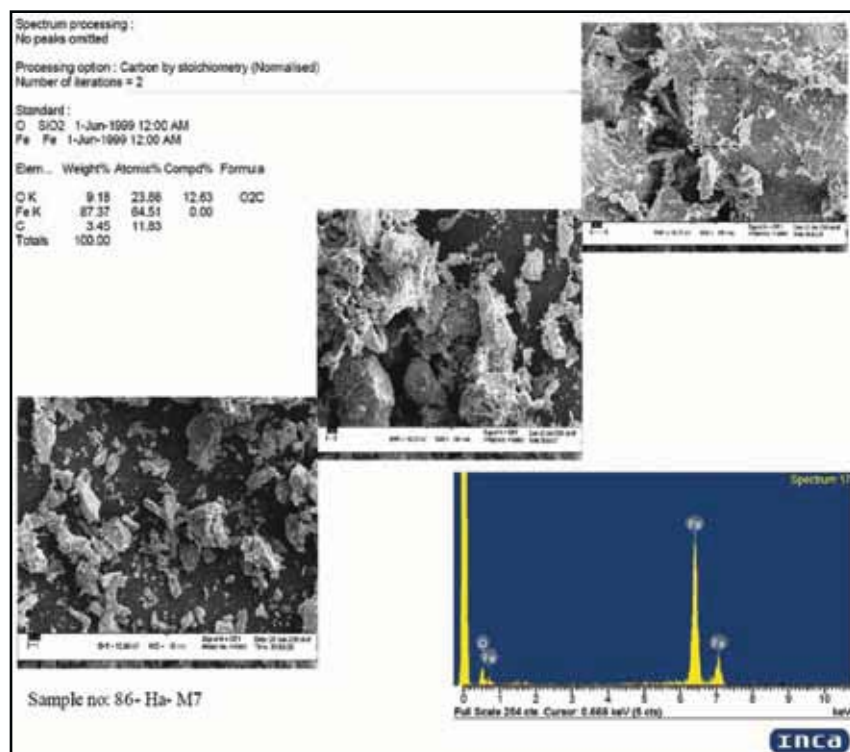
شکل ۴- نماهای مختلفی از ارتباط کانی‌سازی مگنتیت و پیریت: مگنتیت فاز اولیه کانی‌سازی است.



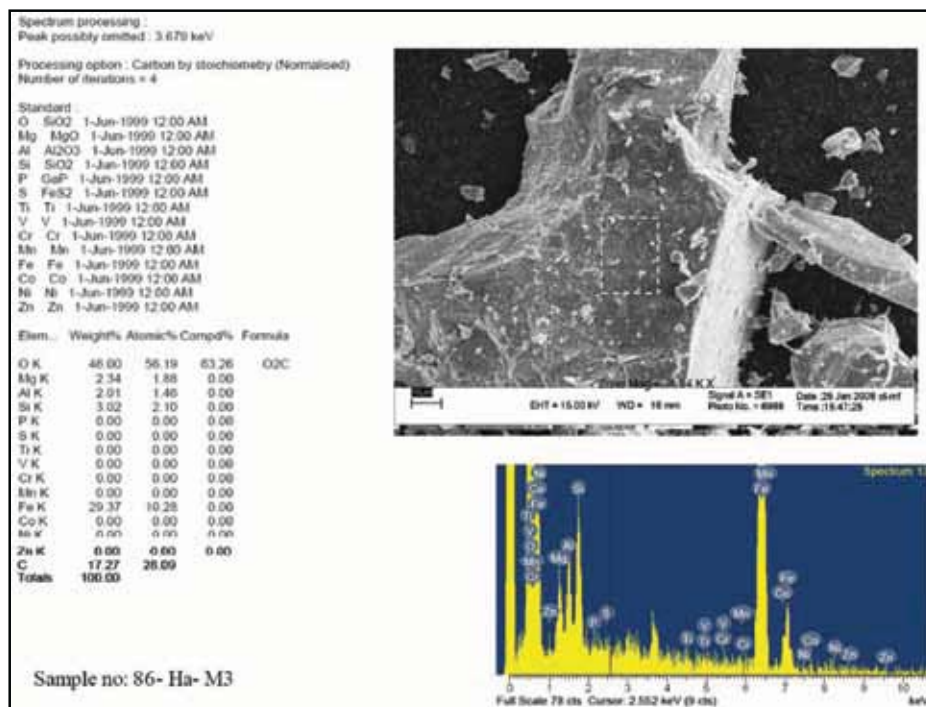
شکل ۶- میزان تمرکز عناصر Ti, Co, V, Ti در کانسنگ آهن با بالعی (سرخ رنگ) و گلالی (آبی تیره).



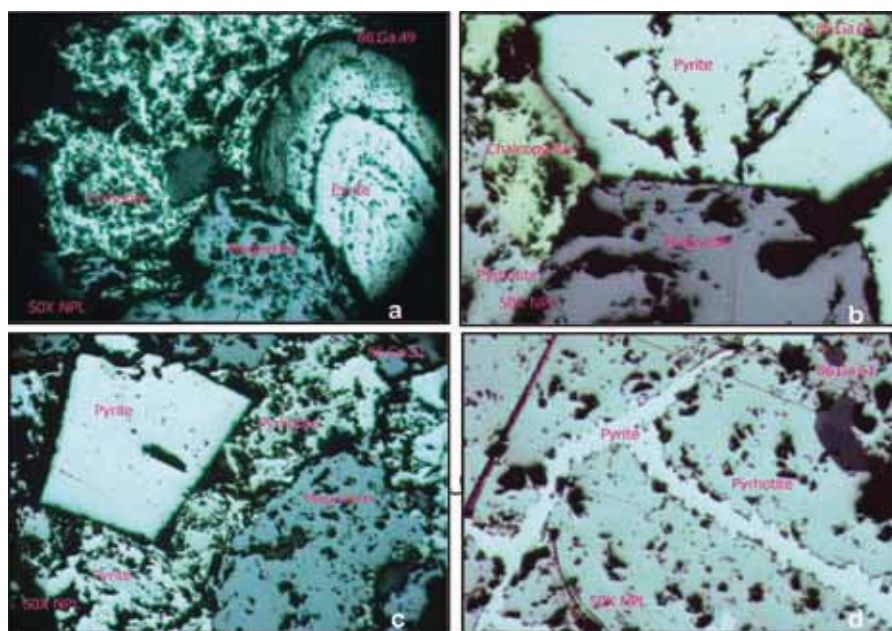
شکل ۵- نمودار الگوی پراکندگی بهنجار شده عناصر خاکی کمیاب و نمودار عنکبوتی بهنجار شده با کندبریت در کانسنگ آهن با بالعی (سرخ رنگ) و گلالی (آبی تیره) را نشان می‌دهد. الگوی خاکهای کمیاب سبک (LREE) نسبت به خاکهای کمیاب سنگین می‌دهد. کانسنگ آهن مگنتیتی (HREE) در کانسنگ آهن مگنتیتی، غنی شدگی نشان می‌دهند.



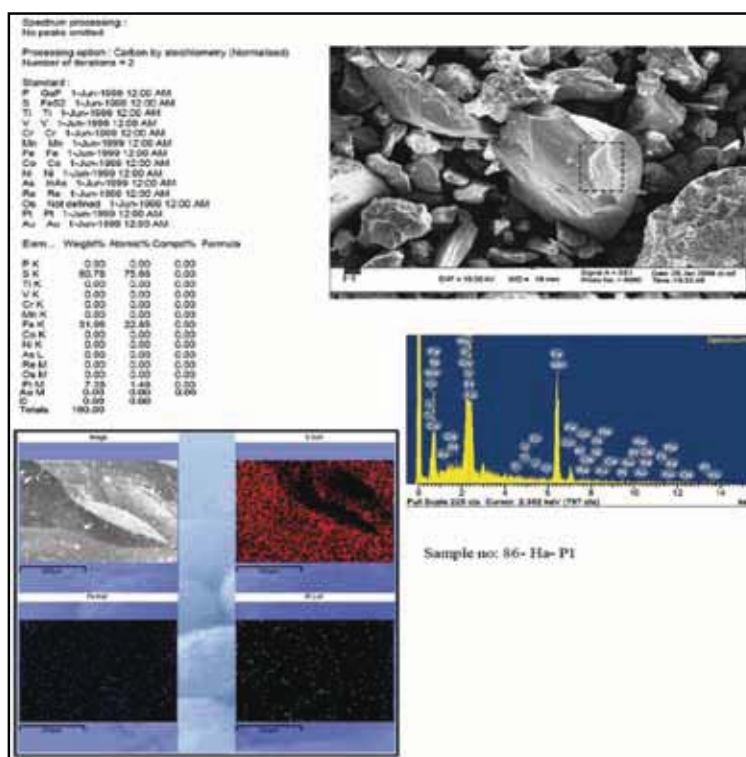
شکل ۷- بلورهای مگنتیت که از کانسنگ آهن باباولی جداسازی شده است. تجزیه از بخش‌های مختلف این نمونه انجام شد. همان‌طوری که دیده می‌شود، بیش از ۹۶ درصد وزنی نمونه مورد نظر از دو عنصر Fe و O تشکیل شده است که نشان از درجه بالای خلوص کانه مگنتیت دارد.



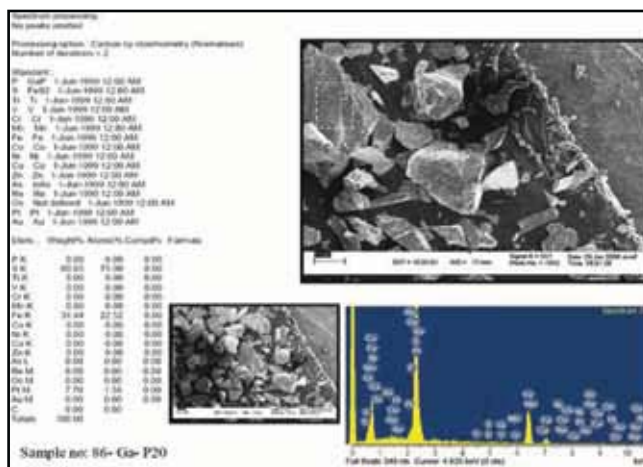
شکل ۸- بلورهای با درجه خلوص (purity) (بالای مگنتیت از کانسنگ آهن باباولی جداسازی شده است. بخش چیره نمونه مورد نظر از دو عنصر Fe و O تشکیل شده است. مقداری کاسیتیت نیز در زمینه وجود دارد. این نمونه از نظر عناصر Ni, Co, V, Ti, Cr, P, S نیز مورد بررسی قرار گرفته است و همان‌گونه که دیده می‌شود این عناصر در فاز مگنتیت تهی شده‌اند.



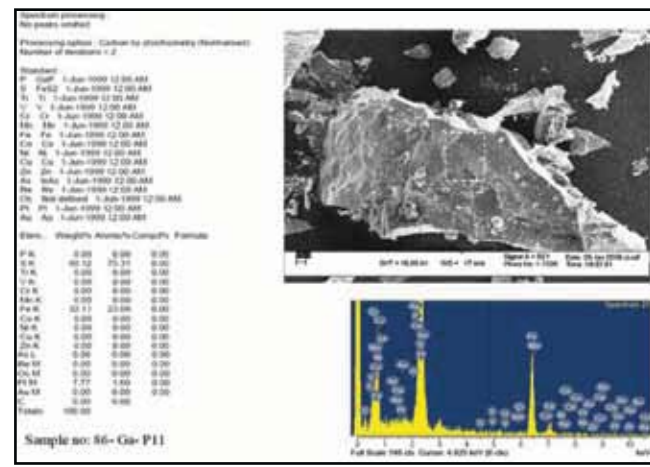
شکل ۹ - نماهای مختلفی از نحوه کانی‌سازی پیریت همراه با مگنتیت. (a) کانه پیریت با چندین نسل کانی‌سازی در کنار مگنتیت و پیروتیت تشکیل شده است. وجود بافت زونه در پیریت، وقفه‌های مابین تبلور چندفازی پیریت را نشان می‌دهد. بدیهی است اولین فاز در مرکز و به سمت حاشیه کانی‌ای جدید را شاهد هستیم. (b) و (c) پیریت خود شکل (آتمورف) در کنار مگنتیت و پیروتیت، ابتدا فاز مگنتیت سپس پیریت و در نهایت، پیروتیت فضاهای بین کانی را پر نموده است. (d) رشد پیریت در شکستگی‌ها و فضاهای خالی ایجاد شده در کانه پیروتیت را نشان داده است.



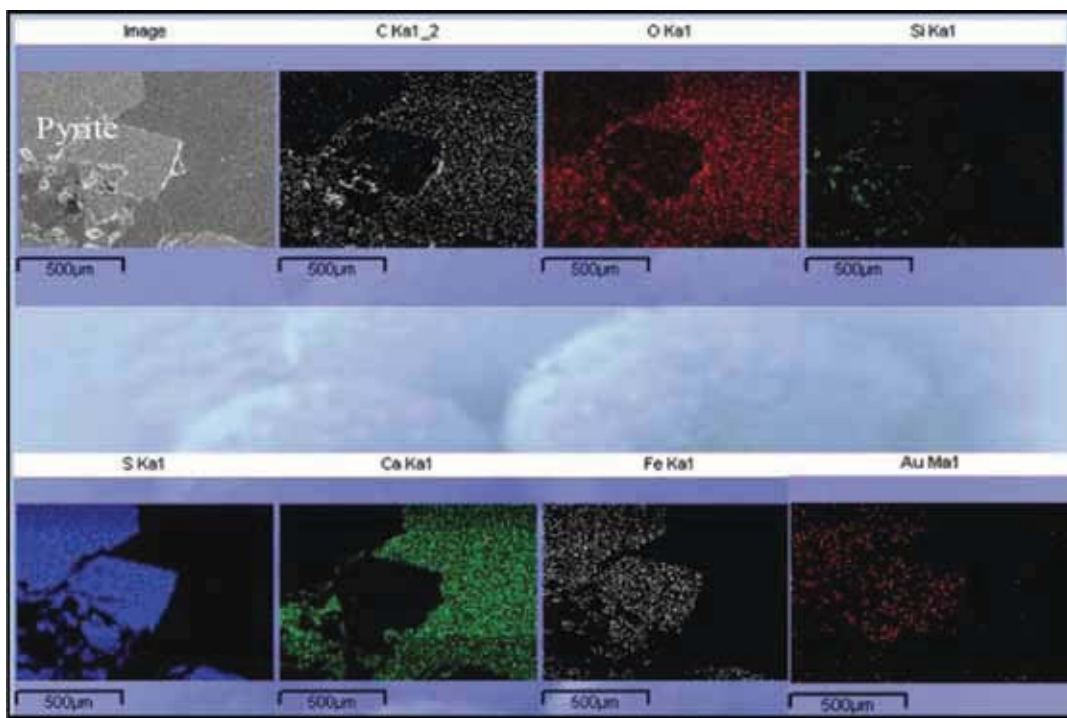
شکل ۱۰- فاز پیریت جداسازی شده کانسنگ آهن باباعلی که از درجه خلوص بالای برخوردار است. همان‌طوری که دیده می‌شود بیش از ۹۲ درصد وزنی نمونه مورد نظر از دو عنصر Fe و S تشکیل شده است. تمرکز عنصر پلاتین با ۷/۲۸ درصد وزنی به صورت پراکنده در شبکه پیریت نشان داده شده است که هم در تجزیه‌های کمی و هم در تجزیه نقشه‌ای مشخص شده است.



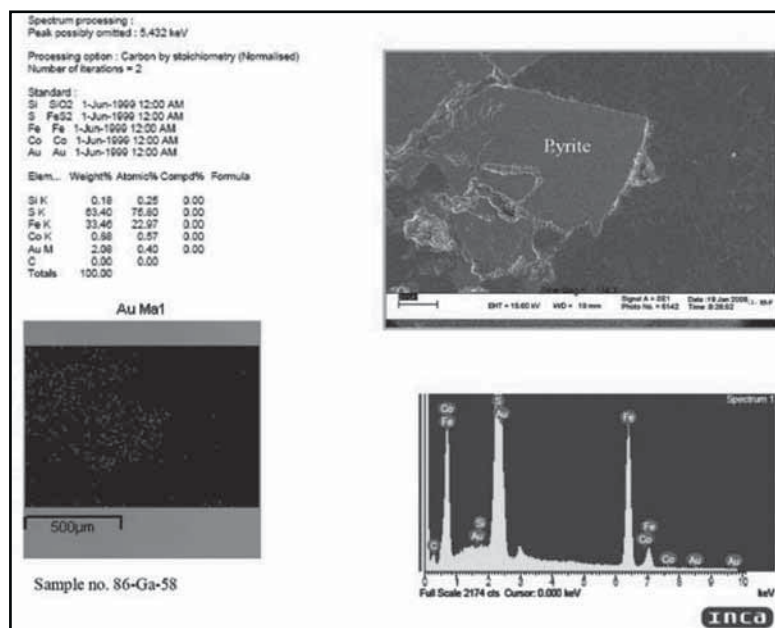
شکل ۱۲- بلورهای با درجه خلوص بالای پیریت از کانسنگ آهن گلالی. این تجزیه نیز شناسنگ محتوای ۷۷٪ درصد عنصر پلاتین در ترکیب ساختمانی و شبکه پیریت است. بیش از ۹۲ درصد وزنی نمونه مورد نظر از دو عنصر Fe و S تشکیل شده است. تجزیه انجام شده بر روی این نمونه، مقدار ۷٪ تا ۹٪ درصد وزنی عنصر پلاتین در ترکیب ساختمانی و شبکه کانی پیریت را نشان داده است.



شکل ۱۱- بلور با درجه خلوص بالای پیریت از کانسنگ آهن گلالی جداسازی شده است. همان گونه که دیده می‌شود بیش از ۹۲ درصد وزنی نمونه مورد نظر از دو عنصر Fe و S تشکیل شده است. نکته جالب توجه دیگر در این نمونه نیز حضور عنصر پلاتین (Pt) به مقدار ۰٪ درصد وزنی در شبکه کانی پیریت است.



شکل ۱۳- تجزیه نقشه‌ای به تفکیک فراوانی عناصر در فاز سولفیدی پیریت و باطله کربناتی. طلا در شبکه پیریت با فراوانی قابل توجهی حضور دارد.



شکل ۱۴- تصاویر تجزیه کامل انجام شده توسط دستگاه SEM-EDAX. همان‌طوری که دیده می‌شود وجود پیک مشخص عنصر طلا (Au: 2.08 weight %) در فاز سولفیدی پیریت مشخص شده است.

## کتابنگاری

اشرافی، ص.، ۱۳۸۰- نقشه زمین‌شناسی ۱:۱۰۰۰۰۰ تویسرکان، انتشارات سازمان زمین‌شناسی و اکتشافاتمعدنی کشور.  
rstemi پایدار، ق.، ۱۳۸۸- زمین‌شناسی، ژئوشیمی و خاستگاه کانی‌سازی آهن در کانسارهای با بالعی و گلالی با نگرشی بر مطالعات ایزوتوپی، رساله دوره دکتری گروه زمین‌شناسی اقتصادی، دانشگاه آزاد اسلامی، واحد علوم و تحقیقات تهران.  
شرکت مهندسین مشاور زریابان اکتشاف، ۱۳۷۹- طرح اجمالی اکتشاف سنگ آهن شمال غرب ایران. گزارش داخلی شرکت فولاد صباونور.  
محلج، م. و ایزدی کیان، ل.، ۱۳۸۶- چین خوردگی‌های چندمرحله‌ای و سازوکار تشکیل آنها در تکتونیت‌های موجود در ساختار گنبدی منطقه آلمابلاق، باختر همدان، فصلنامه علوم زمین، شماره ۶۶، صفحه ۱۱۶ تا ۱۳۳.

## References

- Barud, J., 1975- Geological map of the Kermanshah Quadrangle, 1:250000, Published by Geological Survey of Iran, Tehran, Iran.
- Champness, P. E., Cliff, G. and Lorimer, G. W., 1982- Quantitative analytical electron microscopy of metals and minerals. *J. Microsc.*, 108, 231-49.
- Frietsch, R. and Perdahl, J. A., 1995- Rare earth elements in apatite and magnetite in Kiruna-type iron ores and some other iron ore types, *Ore Geology Reviews*, v. 9, p. 489-510.
- Goldstein, J. and Newbury, D. E., 2003- Scanning Electron Microscopy and X-Ray Microanalysis, Third Edition, Plenum Press, 358p.
- Hall, M.G., Lloyd, G.E., 1981- The SEM examination of geological samples with a semiconductor back-scattered electron detector, *Am. Mineral.*, v. 66, p. 362-368.
- Hobart, H. and Willard, H., 1998- Instrumental methods of analysis. Wadsworth Inc., Seventh edition.
- Lloyd, G. E. and Hall, M. G., 1981- Application of scanning electron microscopy to the study of deformed rocks. *Tectonophysics*, v. 78, p. 687-698.
- Meinert, L. D., 1993- Skarns and skarn deposits, in *Ore deposit models*, Volume II: Geoscience Canada, reprint series 6, p. 117-134.
- Passchier, C. W. and Trouw, R.A.J., 2005- Microtectonics, special techniques, Scanning Electron Microscope, Springer, 288p.
- Pirajno, F., 1992- Hydrothermal mineral deposits, Springer-Verlag, 709p.
- Reed, S. J. B., 1996- Electron microprobe analysis and scanning electron microscopy in geology, Cambridge Univ Press., 201p.
- Torab, F. M. and Lehmann, B., 2007- Magnetite-apatite deposits of the Bafq district, Central Iran: apatite geochemistry and monazite geochronology, *Mineralogical Magazine*, v. 71, no. 3, p. 347-363.
- Zamanian, H., Yousefi, B. and Alavi, S. A., 2007- Mineralogical and geochemical skarn zoning across the Baba-Ali deposit, western Iran, *Geoscience Scientific Quarterly Journal*, vol. 16, No. 62, p. 194-203.
- Zheng, J. G., 2006- Electron microscopy: TEM and SEM, in *Materials Science & Engineering Congress*, EPIC/NUANCE Center, USA.